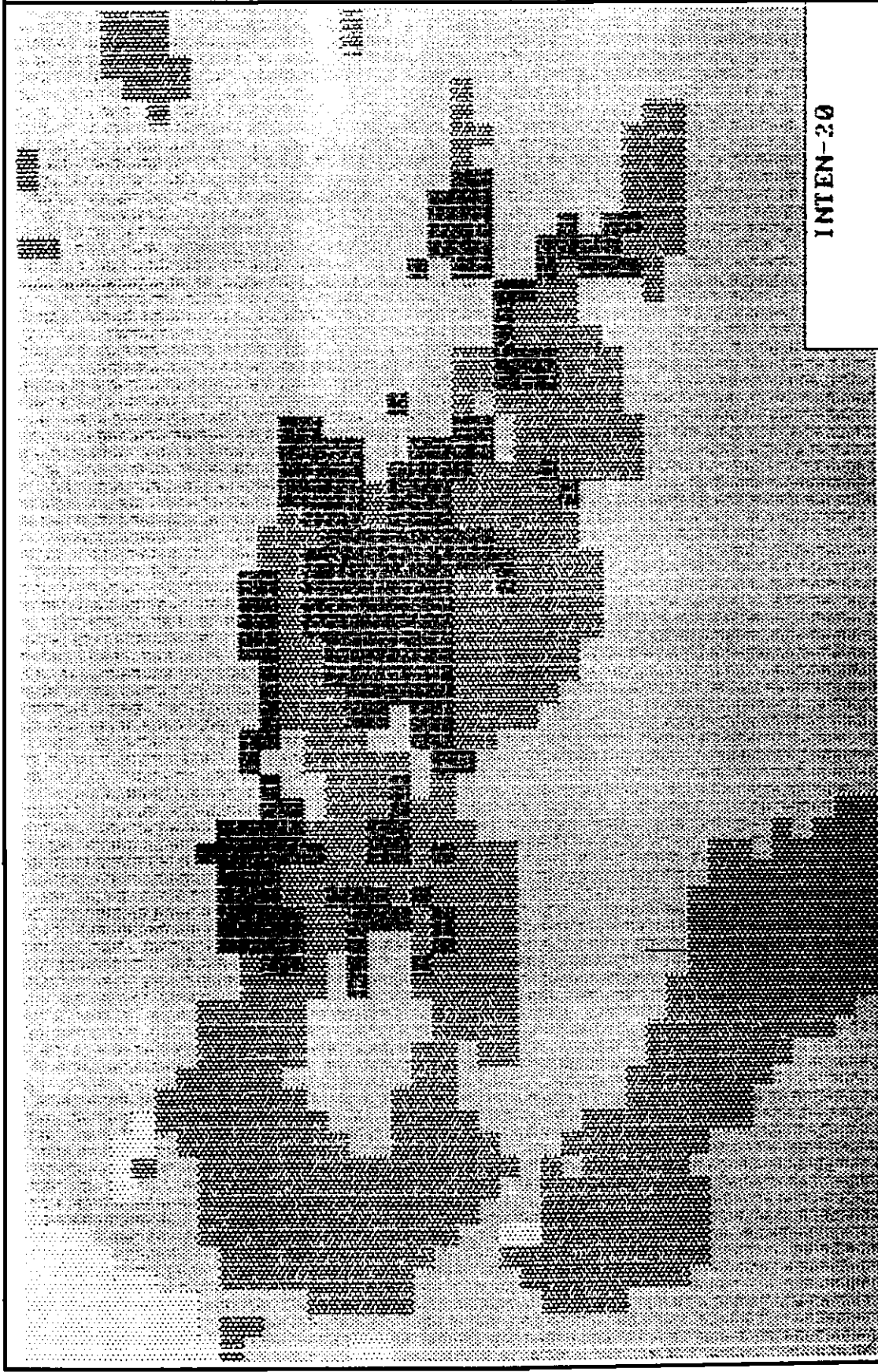


INTEN-19

- INTENSIDAD IV
- INTENSIDAD V
- INTENSIDAD VI
- INTENSIDAD VII
- INTENSIDAD VIII

MAPA Y-19. Simulación de intensidades para el segmento de falla T0B0S1. Considerando aluvión saturado.

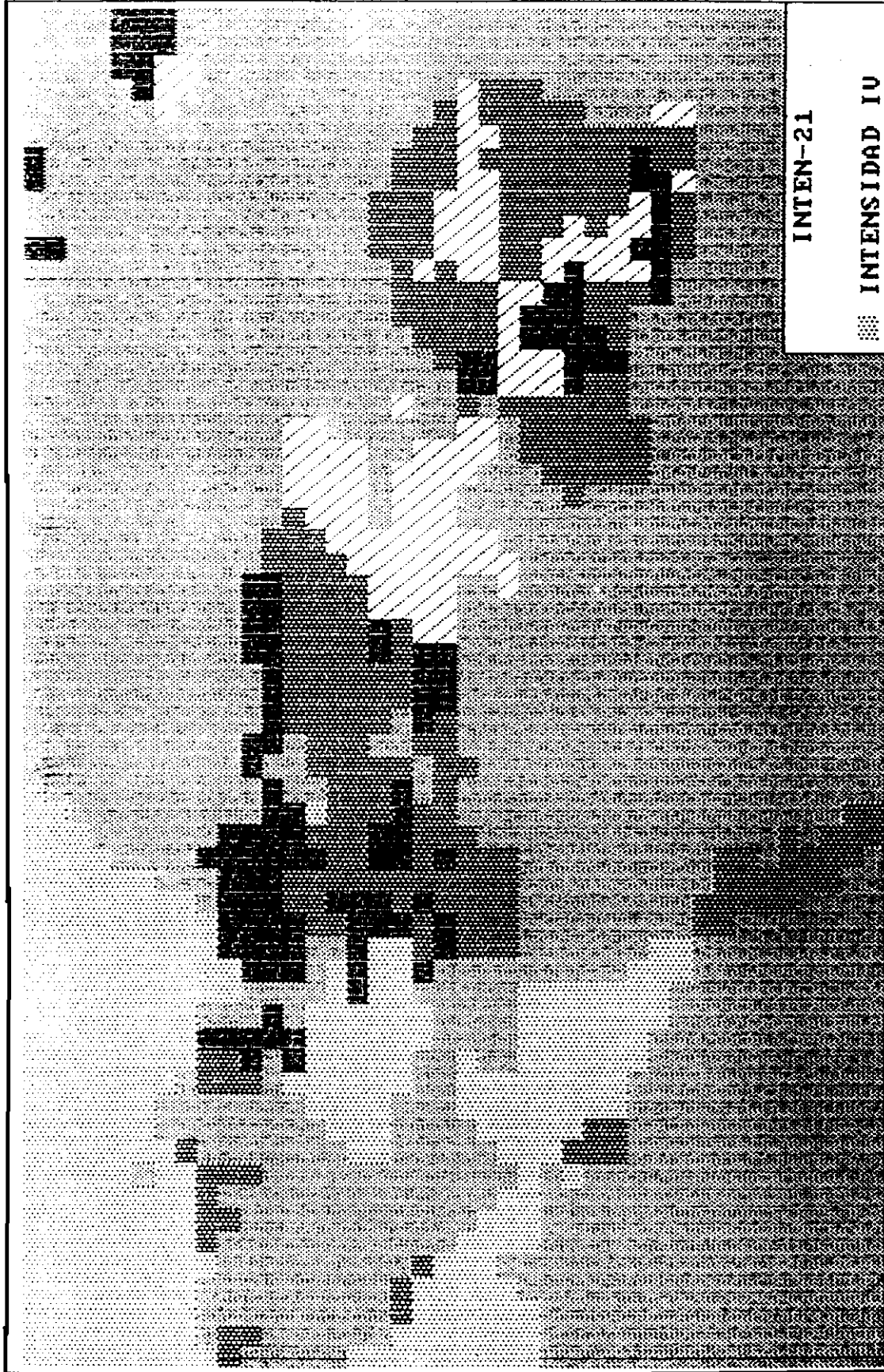
FUENTE: Elaborado por Montero, C. y González, Y.



INTEN-20

- INTENSIDAD IV
- INTENSIDAD U
- INTENSIDAD UI
- INTENSIDAD UII

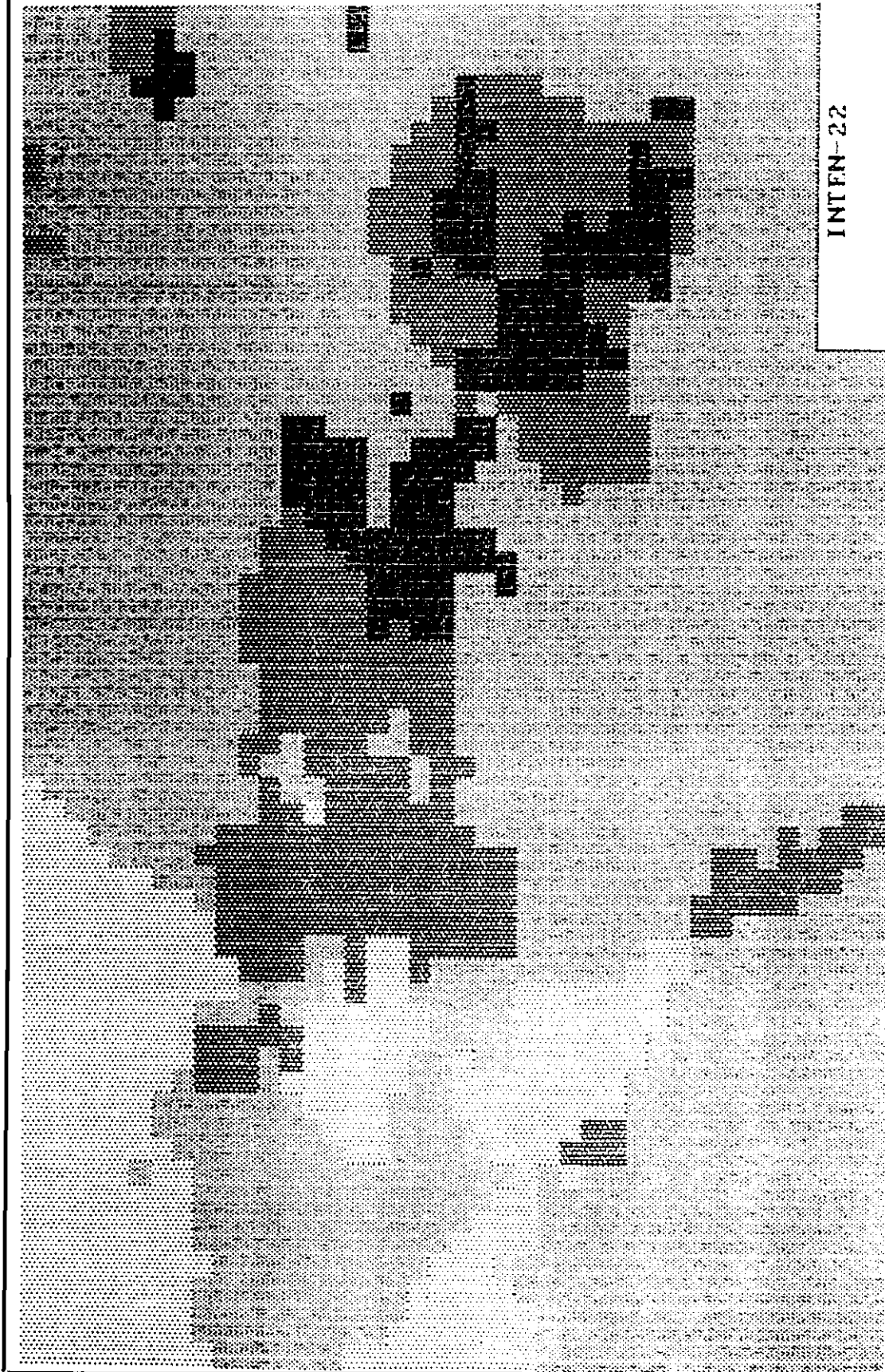
MAPA Y-20. Simulación de intensidades para el segmento de falla TOBOSI 1. Considerando aluvión no saturado.
FUENTE: Elaborado por Montero, C. y González, V.



INTEN-21

- INTENSIDAD IV
- INTENSIDAD V
- INTENSIDAD VI
- INTENSIDAD VII
- INTENSIDAD VIII

MAPA V-21. Simulación de intensidades para el segmento de falla UJARRAS 1. Considerando aluvión saturado.
FUENTE: Elaborado por Montero, C. y González, V.



INTEN-22

- INTENSIDAD IV
- INTENSIDAD V
- INTENSIDAD VI
- INTENSIDAD VII

MAPA V-22. Simulación de intensidades para el segmento de falla UJARRAS 1. Considerando aluvión no saturado.
 FUENTE: Elaborado por Montero, C. y González, Y.